

# ردیابی چندهدفی چندسنسوری غیرمتمن کز و همکارانه با اندازه‌گیری غیرهمزان

## سمت

علیرضا جلالی‌پور<sup>۱</sup>، ریحانه کاردھی مقدم<sup>۲</sup>

<sup>۱</sup> گروه برق، واحد مشهد، دانشگاه آزاد اسلامی، مشهد، ایران jalalipoor@gmail.com

<sup>۲</sup> دانشیار، گروه برق، واحد مشهد، دانشگاه آزاد اسلامی، مشهد، ایران rkardehi.moghaddam@gmail.com

پذیرش: ۱۳۹۹/۰۱/۳۰

ویرایش: ۱۳۹۸/۱۱/۰۲

دریافت: ۱۳۹۸/۰۳/۱۱

**چکیده:** ردیابی هدف فقط با اندازه‌گیری زاویه سمت، یک مسئله چالش برانگیز با کاربردهای فراوان در حوزه‌های نظامی و تجاری می‌باشد. در ردیابی سمت به تنها بصورت چندهدفی چندسنسوری توزیع شده، سنسورها از یکدیگر فاصله داشته اما با استفاده از تجهیزات مخابراتی با هم تبادل داده می‌نمایند. این سیستم، علاوه بر مزایای عمومی سیستم‌های توزیع شده، شامل این ویژگی کاربردی است که در صورت وجود فاصله مناسب بین سنسورها، حالت اهداف رویت پذیر بوده و انجام مانور توسط حسگرها ضرورت نخواهد داشت. با توجه به اهمیت و کاربرد این مسئله، در این مقاله برای اولین بار ردیابی سمت به تنها ی چندهدفی چندسنسوری با معماری غیرمتمن کز و با اندازه‌گیری‌های ناهمزان ارائه شده است. در این تحقیق، با کمک گرفتن از ایده اندازه‌گیری مرکب و بالحاظ نمودن زمان اندازه‌گیری‌ها در محاسبات، ضمن غلبه بر ناهمزانی اندازه‌گیری‌ها، اثرات غیرخطی در معادله اندازه‌گیری حذف شده است. همچنین از فیلترینگ مبتنی بر استراتژی پخش به منظور بهره‌برداری از اطلاعات عامل‌های سنسوری همسایه جهت بهبود تخمین‌ها استفاده شده است. شبیه‌سازی‌های انجام شده نشان می‌دهد که سیستم طراحی شده، می‌تواند به خوبی اهداف را تشخیص داده و با دقت قابل قبولی ردیابی نماید.

**کلمات کلیدی:** ردیابی هدف با اندازه‌گیری سمت به تنها، سیستم‌های چندعامله، سیستم‌های غیرمتمن کز، کنترل همکارانه، فیلترهای مبتنی بر استراتژی‌های پخش.

## Decentralized and Cooperative Multi-Sensor Multi-Target Tracking With Asynchronous Bearing Measurements

Alireza Jalalipoor, Reihane Kardehi Moghaddam

**Abstract:** Bearings only tracking is a challenging issue with many applications in military and commercial areas. In distributed multi-sensor multi-target bearings only tracking, sensors are far from each other, but are exchanging data using telecommunication equipment. In addition to the general benefits of distributed systems, this tracking system has another important advantage: if the sensors are sufficiently spaced apart, the target state is observable and the maneuver is not necessary by sensors. In this work, Multi-sensor multi-target bearings only tracking with decentralized architecture and asynchronous measurements is newly proposed. In this study, with the help of the idea of composite measurements and taking into account the time of measurements in the calculations, while overcoming the asynchronous of the measurements, the nonlinear effects in the measurement equation are also eliminated. Also, diffusive filtering is used to exploit the information of neighboring sensor agents to improve the estimates. The simulations show that the system designed in this research can well detect targets and track them with acceptable accuracy.

**Keywords:** Bearings-only Tracking, Multi-Agent Systems, Decentralized Systems, Cooperative Control, Diffusive Filters.

## ۱- مقدمه

اغلب مقالات ارائه شده در حوزه ردیابی سمت به تنها بی توزیع شده، از ساختارهای متمن کز یا سلسله مراتبی استفاده نموده‌اند و به معنای غیرمتمن کز کمتر پرداخته شده است.

بسیاری از تحقیقات انجام شده در زمینه تخمین توزیع شده، فرض همزمانی اندازه‌گیری‌ها را در نظر می‌گیرند. اما در واقعیت با توجه به عملکرد مستقل سنسورها، تاخیر انتقال داده، احتمال از دست رفتن بسته‌های اطلاعاتی هنگام انتقال و ... فرض همزمانی داده‌ها صحیح نخواهد بود. تعداد محدودی از مقالات ارائه شده در زمینه ردیابی سمت به تنها بی توزیع شده، ناهمزمانی اندازه‌گیری‌ها را در نظر گرفته‌اند. در مرجع [۱۱] حل مسئله ردیابی چندهدفی چندسنسوری با اندازه‌گیری سمت به تنها بی مختصات کارتزین تابعی غیرخطی از موقعیت هدف است، لذا با یک مسئله فیلترینگ غیرخطی روبرو هستیم [۱۲]. در صورت ثابت بودن سنسور، فقط با اندازه‌گیری سمت هدف نمی‌توان مکان آن را تعیین نمود زیرا متغیرهای آن با استفاده از سونار غیرفعال<sup>۱</sup> و از کاربردهای غیرنظمی آن به ردیابی هوایپاما در مراقبت هوایی اشاره نمود [۲-۵].

در مسائل ردیابی سمت به تنها بی، معادله اندازه‌گیری در دستگاه استراتژی‌های مختلفی از جمله استراتژی‌های افزایشی<sup>۶</sup>، اجماع<sup>۷</sup> و پخش<sup>۸</sup> برای همکاری عامل‌ها و نحوه تبادل اطلاعات در شبکه پیشنهاد شده است [۱۳]. در مرجع [۱۴] تلاش گردیده است که حجم اطلاعات موردنیاز جهت تبادل بین گره‌ها کاهش یابد. یکی از راهکارهای موردن استفاده، تبادل اطلاعات با گره‌های انتخاب شده بصورت تصادفی بجای انتشار سراسری در شبکه است. عموماً از استراتژی اجماع برای پیاده‌سازی رفتار همانگ و همکارانه در سیستم‌های شبکه‌ای استفاده می‌شود. در مرجع [۱۵] به بررسی و تحلیل الگوریتم‌های اجماع در سیستم‌های چندعامله پرداخته است. در سال‌های اخیر، فیلترهای توزیع شده مبتنی بر اجماع مورد توجه قرار گرفته است. در مرجع [۱۶] از فیلتر کالمون نمونه بردار مبتنی بر اجماع میانگین برای حل مسئله ردیابی سمت به تنها در فضای سه بعدی استفاده نموده است. در فیلترهای توزیع شده مبتنی بر اجماع، لازم است که بین دو اندازه‌گیری متوازی، مرحله اجماع به همگرایی برسد؛ اما در سیستم‌های بزرگ و گسترده به دلایلی مانند تاخیر شبکه و اتصالات متوابع ممکن است این کار قابل انجام نباشد [۱۷]. در مرجع [۱۸] با مقایسه استراتژی‌های همکاری برای تخمین توزیع شده، نشان داده است که الگوریتم‌های پخش عملکرد بهتری نسبت به الگوریتم‌های اجماع دارند. در مرجع [۱۹] یک چارچوب برای تخمین غیرخطی چندسنسوری توزیع شده با استفاده از فیلتر ذره‌ای مبتنی بر استراتژی پخش ارائه شده است.

دو پیکربندی کاربردی برای حل مسائل تخمین چندسنسوری وجود دارد. در پیکربندی اول، اندازه‌گیری‌های تمام سنسورها مستقیماً در فرایند

تحلیل حرکت هدف صرفاً با اندازه‌گیری زاویه سمت هدف که به ردیابی سمت به تنها<sup>۱</sup> معروف شده است، یکی از مسائل کلاسیک در حوزه ردیابی است که از سال ۱۹۴۷ توسط استنسفیلد [۲۰] آغاز شده و هنوز، هم از نظر تئوری و هم از نظر عملی، مورد توجه محققین می‌باشد. از کاربردهای نظامی این مسئله چالش برانگیز می‌توان به ردیابی هدف در زیر آب با استفاده از سونار غیرفعال<sup>۲</sup> و از کاربردهای غیرنظمی آن به ردیابی هوایپاما در مراقبت هوایی اشاره نمود [۲-۵].

در مسائل ردیابی سمت به تنها بی، معادله اندازه‌گیری در دستگاه مختصات کارتزین تابعی غیرخطی از موقعیت هدف است، لذا با یک مسئله فیلترینگ غیرخطی روبرو هستیم [۲۱]. در صورت ثابت بودن سنسور، فقط با اندازه‌گیری سمت هدف نمی‌توان مکان آن را تعیین نمود زیرا متغیرهای حالت هدف هنگامی رویت‌پذیر می‌شوند که سکوی حامل سنسور، متحرک بوده و میزان مانور آن از مانور هدف بیشتر باشد [۲۲]. تحقیقات در این زمینه هنوز هم ادامه دارد. به عنوان مثال، مرجع [۲۳] از بین رویکردهای موجود، رویکرد بیشترین شباهت<sup>۳</sup> را برای حل این مسئله پیشنهاد کرده است. همچنین مرجع [۲۴] به طراحی مانور بهینه مشاهده گر پرداخته است. در ردیابی چندهدفی چندسنسوری، اندازه‌گیری‌های چندین سنسور طوری با یکدیگر ترکیب می‌شوند که خط سیر<sup>۴</sup> اهداف ردیابی شده نسبت به حالت یک سنسوری، بطور قابل توجهی بهتر خواهد بود [۲۵]. با توسعه شبکه‌های حسگر بی‌سیم، سیستم‌های ردیابی چندهدفی چندسنسوری توزیع شده مورد توجه محققین قرار گرفته است. در ردیابی سمت به تنها چندهدفی چندسنسوری توزیع شده، سنسورها از هم فاصله داشته اما ارتباط داده‌ای با یکدیگر دارند. این سیستم‌ها علاوه بر مزایای کلی سیستم‌های توزیع شده، دارای این ویژگی کاربردی می‌باشند که اگر سنسورها به نحو مناسبی از یکدیگر فاصله داشته باشند، نیاز به انجام مانور توسط سکوهای سنسوری برطرف می‌گردد [۲۶].

برای سیستم‌های ردیابی توزیع شده، از معنای های متمن کز<sup>۵</sup>، غیرمتمن کز<sup>۶</sup> و ترکیبی<sup>۷</sup> استفاده می‌شود. در ساختار متمن کز، داده‌های تمام سنسورها برای پردازش به یک مرکز تلفیق داده سراسری ارسال می‌شوند. در معنای غیرمتمن کز، هر سکو داده‌ای دریافتی از سنسورهای محلی خودش را پردازش نموده و با سکوهای مجاور نیز تبادل اطلاعات می‌نماید. معنای ترکیبی یا سلسله مراتبی، تلفیقی از ساختارهای متمن کز و غیرمتمن کز می‌باشد. اگرچه از نظر بهینه بودن، معنای متمن کز نسبت به معنای غیرمتمن کز دارای برتری می‌باشد، اما به زیرساخت‌های قوی تری برای جمع آوری اطلاعات و پردازش آنها در مرکز تلفیق داده سراسری نیاز دارد. لذا در بسیاری از کاربردها، معنای غیرمتمن کز ترجیح داده می‌شود.

<sup>۱</sup> Hybrid Architecture

<sup>۲</sup> Data Fusion Centre

<sup>۳</sup> Incremental Strategy

<sup>۴</sup> Consensus Strategy

<sup>۵</sup> Diffusion Strategy

<sup>۱</sup> Bearings-Only Tracking

<sup>۲</sup> Passive

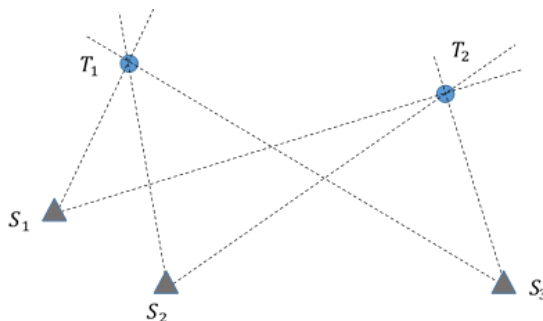
<sup>۳</sup> Maximum Likelihood (ML)

<sup>۴</sup> Track

<sup>۵</sup> Centralized Architecture

<sup>۶</sup> Decentralized Architecture

با عامل های همسایه خود ارتباط دارد، لذا با تشکیل یک شبکه سنسوری توزیع شده، چارچوب مناسبی برای تخمین غيرمت مرکز و همکارانه، بدون نیاز به مرکز تلفیق داده فراهم می شود. با توجه به عملکرد مستقل عامل ها، اندازه گیری ها ناهمزمان می باشند. هدف از حل این مسئله، تخمین سینماتیک (موقعیت و سرعت) اهداف می باشد. در شکل ۱ یک ستاریوی سیستم مسئله که شامل سه عامل سنسوری و دو هدف می باشد، مشاهده می گردد.



شکل ۱: یک ستاریوی نمونه ریدیابی سمت به تنهایی توزیع شده

## ۲-۲ فرضیات مسئله

در مسئله مورد نظر، فرض شده است که هر عامل می تواند با استفاده از سیستم موقعیت یاب جهانی<sup>۴</sup> یا سیستم ناوبری اینرسی<sup>۵</sup>، موقعیت و سرعت خود را بطور دقیق تعیین نماید. اما اندازه گیری سمت اهداف دارای خطای می باشد که بصورت نویز سفید گوسی با میانگین صفر و انحراف معیار حداقل ۵ درجه در نظر گرفته شده است. اهداف، بدون مانور بوده اما عامل ها با حداکثر نرخ چرخش ۲ درجه بر ثانیه می توانند مانور داشته باشند. حداکثر سرعت اهداف و عامل ها ۳۰ متر بر ثانیه در نظر گرفته شده است. برای هر عامل، دید ۳۶۰ درجه در نظر گرفته شده است. حداکثر فاصله قابل اندازه گیری توسط پارامتری به نام برد اندازه گیری تعیین می گردد. حداکثر فاصله ممکن جهت ارتباط با عامل های اطراف به مقداری تحت عنوان برد ارتباطی محدود شده است. با توجه به محدودیت پهنای باند ارتباطی در دنیای واقعی، باید حداقل داده ها بین عامل ها رد و بدل شود. همچنین کاهش حجم محاسبات محلی مورد نیاز در هر عامل مدنظر قرار می گیرد تا استفاده از الگوریتم های طراحی شده در کاربردهای واقعی امکان پذیر گردد.

## ۳- روش انجام تحقیق

### ۳-۱ مدل محیط

محیط سیستم، فضایی دو بعدی در برگیرنده تمام موجودیت ها شامل سنسورها و اهداف می باشد. مشخصات تمام موجودیت ها از جمله مشخصات مکانی و حرکتی آنها در مدل محیط ثبت گردیده و در زمان شبیه سازی سیستم، بطور مداوم بروز رسانی می شود. دو کار کرد اصلی برای مدل محیط در نظر گرفته شده است. کار کرد اول، مدل سازی فرایند

فیلترینگ مورد استفاده قرار می گیرند. در پیکربندی دوم، ابتدا تمام اندازه گیری ها از یک زمان مشخص، با یکدیگر ترکیب شده و یک اندازه گیری کامل تر را می سازند که به آن اندازه گیری مرکب<sup>۱</sup> گفته می شود [۱۹]. مرجع [۲۰]، روابط مناسبی جهت محاسبه اندازه گیری مرکب برای مسئله ریدیابی سمت به تنهایی با ساختار مت مرکز و اندازه گیری های همزمان ارائه نموده است. در مرجع [۲۱] دو روش برای تشکیل اندازه گیری مرکب در سیستم ریدیابی سمت به تنهایی مت مرکز با سنسور های ثابت و مشاهدات ناهمزمان ارائه شده است. مرجع [۱۹] روش اول ارائه شده در مرجع [۲۱] را تکمیل نموده است.

در این تحقیق، ریدیابی اهداف با استفاده از تعدادی عامل سنسوری هوشمند که فقط قادر به اندازه گیری سمت اهداف می باشند، مدنظر قرار گرفته است. اگرچه در تحقیقات منتشر شده ابعاد مختلف این مسئله مورد بررسی قرار گرفته است اما هیچگدام از آنها به حل مسئله ریدیابی سمت به تنهایی بصورت چنددهنگی چندسنسوری با معماری غیرمت مرکز و اندازه گیری های ناهمزمان که در این مقاله ارائه گردیده است، نپرداخته اند. در این پژوهش، پس از وابسته سازی داده<sup>۲</sup>، ایده اندازه گیری مرکب ارائه شده توسط مرجع [۱۹]، با انجام برخی اصلاحات لازم، برای سیستم غیرمت مرکز موردنظر در این تحقیق بکار گیری شده است. در فرایند مدیریت خط سیر اهداف، از ایده انتخاب مناسب ترین هدف از بین یک مجموعه اهداف فرضی، برای راه اندازی خط سیر های جدید استفاده شده است. بکار گیری روش اندازه گیری مرکب موجب خطا شدن معادله اندازه گیری می شود، لذا از فیلتر کالمن توزیع شده مبتنی بر استراتژی پخش برای تخمین حالت اهداف استفاده شده است. مانور حرکتی عامل ها نیز به نحوی تعیین می گردد که ضمن حفظ اتصال شبکه و تعقیب اهداف، سرعت و کیفیت ریدیابی بهبود یابد.

در ادامه، ابتدا مسئله موردنظر تشریح گردیده و روش اجرای تحقیق به تفصیل شرح داده می شود. بعد از آن، نتایج بدست آمده در شبیه سازی های انجام شده، ارائه گردیده و موردنظر قرار خواهد گرفت. در انتها نیز ضمن ارائه نتیجه گیری، پیشنهاداتی جهت ادامه تحقیق مطرح می گردد.

## ۲- تشریح مسئله موردنظر

### ۲-۱ سیستم موردنظر مطالعه

در این تحقیق، طراحی یک سیستم توزیع شده برای ریدیابی اهداف متحرک بدون مانور در فضای دو بعدی با استفاده از تعدادی عامل مت حرک خود مختار (مانند ربات یا پهپاد)<sup>۳</sup> مدنظر قرار گرفته است. این عامل ها که فقط قادر به اندازه گیری سمت اهداف می باشند، بطور مستقل محیط را پایش نموده و بصورت محلی اندازه گیری ها را پردازش می نمایند. هر عامل

<sup>4</sup> Global Positioning System (GPS)

<sup>5</sup> Inertial Navigation System (INS)

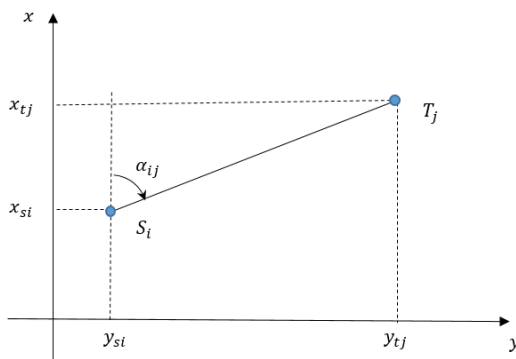
<sup>1</sup> Composite Measurement

<sup>2</sup> Data Association

<sup>3</sup> Unmanned Aerial Vehicle (UAV)



شکل ۲: فلوچارت کلی برنامه عامل‌های سنسوری



شکل ۳: هندسه مسئله ریدیابی سمت به تنهایی در دستگاه مختصات کارترین مدل اندازه‌گیری بصورت زیر در نظر گرفته می‌شود:

$$z_{ij}(t_k) = h(T_j(t_k), S_i(t_k)) + w_{ij}(t_k) \quad (3)$$

که  $z_{ij}(t_k)$  اندازه‌گیری سمت هدف زام توسط عامل  $i$  در  $t_k$  است و  $w_{ij}(t_k)$  نویز اندازه‌گیری سنسور  $i$  ام برای هدف زام در  $t_k$  می‌باشد. نویز اندازه‌گیری سنسور  $i$  ام، دارای توزیع گوسی با میانگین صفر و واریانس  $R_i$  در نظر گرفته شده است. همچنین:

$$h(T_j(t_k), S_i(t_k)) = \alpha_{ij}(t_k) = \tan^{-1}\left(\frac{y_{tj}(t_k) - y_{si}(t_k)}{x_{tj}(t_k) - x_{si}(t_k)}\right) \quad (4)$$

فلوچارت فرایند وابسته‌سازی اندازه‌گیری‌ها به خط‌سیرهای موجود در شکل ۴ آورده شده است. در این تحقیق، روش نزدیک‌ترین همسایه برای وابسته‌سازی داده، انتخاب شده و توسط الگوریتم تخصیص منابع مانکرس<sup>۱</sup> پیاده‌سازی شده است.

اندازه‌گیری سمت اهداف موجود در محیط نسبت به عامل‌ها و با توجه به برد اندازه‌گیری آنها می‌باشد. کار کرد دوم محیط، اینفاو نقش رسانه انتقال اطلاعات بیسیم بین عامل‌ها می‌باشد. محیط از دیدگاه انتقال سیگنال مخابراتی، ایده‌آل و بدون نویز در نظر گرفته شده و احتمال خرابی بسته‌های داده صفر است اما برد ارتباطی محدود می‌باشد. هنگامی که یک عامل، اطلاعات خود را در محیط منتشر می‌کند، این اطلاعات توسط محیط به عامل‌هایی که قادر به تبادل داده با عامل مذکور باشند انتقال داده می‌شود.

### ۲-۳ مدل اهداف

اهداف بصورت اشیاء متحرک ساده با حرکت مستقیم الخط یکنواخت در دستگاه مختصات کارترین مدل‌سازی می‌شوند. بردار موقعیت آنها در زمان شبیه‌سازی سیستم، بطور مداوم و در هر پیماش یا گام زمانی بروز رسانی می‌شود.

### ۳-۳ مدل عامل‌ها

عامل‌های سنسوری، موجودیت‌های هوشمندی هستند که با حسگرهای خود، اهداف موجود در محیط را تشخیص داده و الگوریتم‌های محاسباتی موردنیاز را اجرا می‌کنند. در زمان شبیه‌سازی سیستم، بردار موقعیت و بردار سرعت عامل‌ها نیز بطور مداوم و در هر گام زمانی بروز رسانی می‌شود. همچنین برنامه عامل که وظیفه تامین هوشمندی را بر عهده دارد، در هر پیماش شبیه‌سازی اجرا می‌شود. بخش اصلی حل مسئله در این تحقیق، طراحی ساختار کارکردی برنامه عامل‌ها و الگوریتم‌های محاسباتی آنها می‌باشد. فلوچارت کلی برنامه عامل در شکل ۲ آورده شده است.

اولین مرحله در برنامه عامل، شناسایی و تعیین عامل‌های همسایه است. اطلاعات دریافتی از عامل‌های همسایه، برای مدت زمان معینی در حافظه عامل نگهداری شده و سپس از حافظه حذف می‌شوند. به منظور تعیین عامل‌های همسایه، شماره عامل‌هایی که اطلاعات دریافتی از آنها در حافظه موجود می‌باشد، استخراج می‌گردد.

موقعیت عامل  $i$  ام و هدف  $j$  ام در دستگاه مختصات کارترین دو بعدی در شکل ۳ نشان داده شده است. موقعیت عامل در لحظه  $t_k$  معلوم فرض می‌شود:

$$S_i(t_k) = \begin{bmatrix} x_{si}(t_k) \\ y_{si}(t_k) \end{bmatrix} \quad (1)$$

موقعیت هدف  $j$  ام در لحظه  $t_k$  بصورت زیر نشان داده می‌شود:

$$T_j(t_k) = \begin{bmatrix} x_{tj}(t_k) \\ y_{tj}(t_k) \end{bmatrix} \quad (2)$$

<sup>۱</sup> Munkres Algorithm

كه زاويه سمت اندازه گيري شده و  $\hat{\alpha}_{tn}$  مقدار تخمين زده شده برای سمت هدف در زمان اندازه گيري است.

هدف موقتی که بيشترین انبات را با اندازه گيري ها داشته باشد، انتخاب شده و يك تخمين گرفته آن راهاندازی می شود. در پیمايش های بعدی شیوه سازی، برای اين هدف نیز فرایند فیلترینگ و تخمين حالت انجام خواهد شد.

سه وضعیت مختلف برای اهداف تخمين زده شده، تعریف شده است: در حال ببررسی<sup>۱</sup>، ریدیابی شده<sup>۲</sup> و گم شده<sup>۳</sup>. وضعیت اهداف جدید، در حال ببررسی در نظر گرفته می شود. پس از گذاشت مدت زمان معینی از شروع فیلترینگ، وضعیت هدف به ریدیابی شده تغییر می یابد. اگر به اندازه مدت زمان معین دیگری، از آخرین اندازه گيري اختصاص یافته به يك هدف با وضعیت ریدیابی شده بگذرد، وضعیت آن به گم شده تغییر خواهد یافت. در این صورت، اندازه گيري پیش بینی شده بر مبنای تخمين بردار حالت هدف، به جای اندازه گيري سنسور مورد استفاده قرار می گيرد. اگر مدت زیادی از آخرین اندازه گيري تخصیص داده شده به يك هدف با هر وضعیتی بگذرد، آن هدف از لیست اهداف تخمين زده شده حذف خواهد شد.

پس از وابسته سازی داده، اندازه گيري های مربوط به هر هدف مشخص شده است، لذا برای هر هدف يك اندازه گيري مرکب محاسبه می گردد.

موقعیت عامل در  $t_k$  بصورت زیر می باشد:

$$S(t_k) = \begin{bmatrix} x_s(t_k) \\ y_s(t_k) \end{bmatrix} \quad (9)$$

بردار حالت هدف در  $t_k$  بصورت زیر است:

$$X(t_k) = \begin{bmatrix} x(t_k) \\ y(t_k) \\ \dot{x}(t_k) \\ \dot{y}(t_k) \end{bmatrix} \quad (10)$$

اندازه گيري سنسور در لحظه  $t_k$  بصورت زیر می باشد:

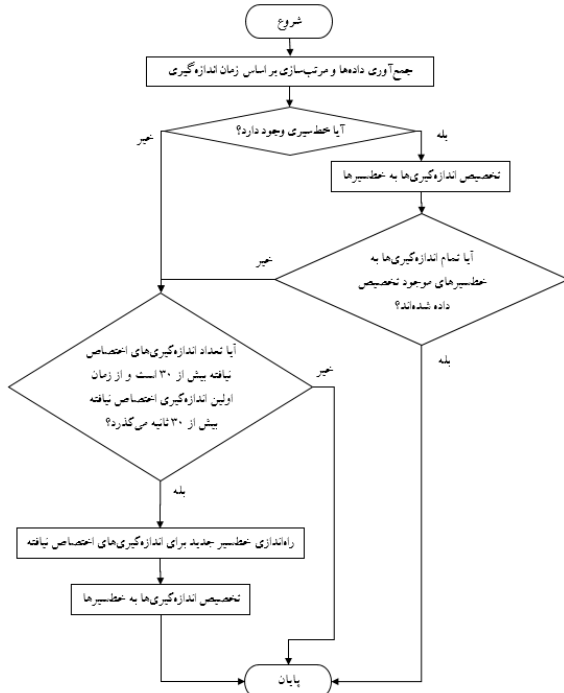
$$z(t_k) = h(X(t_k), S(t_k)) + w(t_k) \quad (11)$$

كه  $w(t_k)$  نویز اندازه گيري سنسور در لحظه  $t_k$  می باشد و دارای توزيع گوسی با میانگین صفر و واریانس  $R_k$  در نظر گرفته می شود. در هر زمان، با توجه به منبع اندازه گيري، از واریانس سنسور مربوطه استفاده خواهد شد. همچنین:

$$h(X(t_k), S(t_k)) = \alpha(t_k) = \tan^{-1} \left( \frac{y(t_k) - y_s(t_k)}{x(t_k) - x_s(t_k)} \right) \quad (12)$$

تعداد کل اندازه گيري ها  $M$  در نظر گرفته شده است. اندازه گيري مرکب، تخمين بردار حالت هدف در لحظه مشخصی مانند  $t_f$  یعنی  $\hat{X}(t_f)$  می باشد که برای محاسبه آن، از روش تخمين حداکثر شباهت استفاده شده است. تابع چگالی احتمال مجموعه تمام اندازه گيري ها ( $Z$ ) به شرط  $(X(t_f), Z)$  به عنوان تابع درستنمایی در نظر گرفته می شود:

$$\Lambda[X(t_f); Z] \triangleq p[Z | X(t_f)] = \prod_k p[z(t_k) | X(t_f)] \quad (13)$$



شكل ۴: فلوچارت فرایند وابسته سازی داده

هزینه تخصیص اندازه گيري  $\lambda$  ام به هدف  $\mathcal{Z}_m$  بصورت زیر تعریف شده است:

$$cost_{ij} = K_1 \left( 1 - e^{K_2(\gamma_{ij})^2} \right) \quad (5)$$

كه  $K_2$  و  $K_1$  ضرایب ثابت می باشند. همچنین:

$$\gamma_{ij} = \hat{\alpha}_{tj} - \alpha_{zi} \quad (6)$$

كه  $\alpha_{zi}$  زاويه سمت اندازه گيري شده و  $\hat{\alpha}_{tj}$  مقدار تخمين زده شده برای زاويه سمت هدف در زمان اندازه گيري  $\alpha_{zi}$  است.

برای راهاندازی خطسيري جدید، ابتدا تعدادی هدف موقت با پارامترهای تصادفي به عنوان نامزد برای خطسيري جدید تولید می شوند. فاصله اين اهداف نسبت به محل اندازه گيري، نمونه هایي تصادفي از توزيع یکنواخت در برد اندازه گيري سنسور می باشند. زاويه سمت اين اهداف، نمونه هایي تصادفي از توزيع گوسی حول مقدار اندازه گيري شده با انحراف معیار سنسور مربوطه انتخاب می شوند. کورس اهداف نیز نمونه هایي تصادفي از توزيع یکنواخت در بازه صفر تا ۳۶۰ درجه می باشند.

در مرحله بعدی، میزان انبات هر کدام از اهداف موقت با تمام اندازه گيري های اختصاص نیافته تعیین می گردد. تابع انبات بصورت زیر تعریف شده است:

$$Congruity_{nm} = K_1 \left( 1 - e^{K_2(\zeta_{nm})^2} \right) \quad (7)$$

كه  $n$  اندیس هدف موقت مردم نظر،  $m$  اندیس اندازه گيري،  $K_1$  و  $K_2$  ضرایب ثابت می باشند. همچنین:

$$\zeta_{nm} = \hat{\alpha}_{tn} - \alpha_{zm} \quad (8)$$

<sup>۱</sup> Lost

<sup>2</sup> Query  
<sup>2</sup> Track

برای بيشينه کردن تابع درستنمایي از الگوريتم کمترین مربعات بازگشته استفاده می شود و تخمين فعلی بردار حالت هدف، به عنوان مقدار اوليه در نظر گرفته می شود. بعد از تكرار  $J$  مرتبه، تخمين حالت هدف (اندازه گيري مرکب) بصورت زير خواهد بود:

$$\hat{X}^{j+1} = \hat{X}^j + [(H^j)^T R^{-1} H^j]^{-1} (H^j)^T R^{-1} [Z - \bar{h}(\hat{X}^j)] \quad (26)$$

برای خطی سازی تابع حول  $h(\hat{X}(t_f))$  و محاسبه  $H_k$ ، باید مشتقات  $\alpha_k$  نسبت به  $x(t_f), y(t_f), \dot{x}(t_f), \dot{y}(t_f)$  محاسبه شوند. داریم:

$$\alpha_k = \tan^{-1} \left( \frac{y(t_f) + (t_k - t_f) \dot{y}(t_f) - y_s(t_k)}{x(t_f) + (t_k - t_f) \dot{x}(t_f) - x_s(t_k)} \right) \quad (27)$$

تعريف می شود:

$$\Delta x_s \triangleq x(t_f) + (t_k - t_f) \dot{x}(t_f) - x_s(t_k) \quad (28)$$

و:

$$\Delta y_s \triangleq y(t_f) + (t_k - t_f) \dot{y}(t_f) - y_s(t_k) \quad (29)$$

بنابراین:

$$\frac{\partial \alpha_k}{\partial x} = \frac{-\Delta y_s}{\Delta x_s^2 + \Delta y_s^2} \quad (30)$$

به روش مشابه:

$$\frac{\partial \alpha_k}{\partial y} = \frac{\Delta x_s}{\Delta x_s^2 + \Delta y_s^2} \quad (31)$$

همچنین:

$$\frac{\partial \alpha_k}{\partial \dot{x}} = \frac{-\Delta y_s}{\Delta x_s^2 + \Delta y_s^2} (t_k - t_f) = (t_k - t_f) \frac{\partial \alpha_k}{\partial x} \quad (32)$$

و:

$$\frac{\partial \alpha_k}{\partial \dot{y}} = \frac{\Delta x_s}{\Delta x_s^2 + \Delta y_s^2} (t_k - t_f) = (t_k - t_f) \frac{\partial \alpha_k}{\partial y} \quad (33)$$

کران پايان کرامر رانو<sup>۱</sup> که حداقل خطاي تخمين قابل دستيابي توسط يك تخمين گر بدون بآيس را تعين می کند بصورت زير تعريف می شود:

$$E[(X - \hat{X})(X - \hat{X})^T] \geq J^{-1} \quad (34)$$

که  $J$  ماتريس اطلاعات فيشر<sup>۲</sup> می باشد:

$$J \triangleq E[(\nabla_x \ln \Lambda(X))(\nabla_x \ln \Lambda(X))^T] \Big|_{X=X_{true}} \quad (35)$$

مي توان نوشت:

$$J = E[(\nabla_x \lambda(X))(\nabla_x \lambda(X))^T] \Big|_{X=X_{true}} \quad (36)$$

همچنین:

$$\nabla_x \lambda(X) = \sum_{i=1}^M H_i^T R_i^{-1} [z(t_i) - h(F(t_i, t_f) X(t_f), S(t_i))] \quad (37)$$

در نتيجه:

$$J = \sum_{i=1}^M H_i^T R_i^{-1} H_i \Big|_{X=X_{true}} = H^T R^{-1} H \Big|_{X=X_{true}} \quad (38)$$

چون مقدار واقعی  $X$  در دسترس نمی باشد، از تخمين آن برای محاسبه ماتريس اطلاعات فيشر و کران پايان کرامر رانو استفاده می شود. با توجه

بنابراین تخمين حداکثر شباهت برابر خواهد بود با:

$$\hat{X}_{ML} = \underset{X(t_f)}{\operatorname{argmax}} \Lambda[X(t_f); Z] = \underset{X(t_f)}{\operatorname{argmin}} \lambda[X(t_f); Z] \quad (14)$$

که  $(X, \lambda)$  تابع درستنمایي لگاريتمي منفي می باشد:

$$\lambda(X) = -\ln \Lambda(X) \quad (15)$$

با توجه به فرض گوسی بودن سیستم، داریم:

$$\lambda(X) = \frac{1}{2} \times \sum_k [z(t_k) - h(X(t_k), S(t_k))]^T (R_k)^{-1} [z(t_k) - h(X(t_k), S(t_k))] \quad (16)$$

ماتريس  $F$  بصورت زير تعريف می شود:

$$F(t_k, t_f) \triangleq \begin{bmatrix} 1 & 0 & (t_k - t_f) & 0 \\ 0 & 1 & 0 & (t_k - t_f) \\ 0 & 0 & 1 & 0 \\ 0 & 0 & 0 & 1 \end{bmatrix} \quad (17)$$

مي توان نوشت:

$$X(t_k) = F(t_k, t_f) X(t_f) \quad (18)$$

بردار اندازه گيري اباشه شده، بصورت زير تعريف می شود:

$$Z \triangleq \begin{bmatrix} z(t_1) \\ z(t_2) \\ \vdots \\ z(t_M) \end{bmatrix} \quad (19)$$

مي توان نوشت:

$$\begin{bmatrix} h(X(t_1), S(t_1)) \\ h(X(t_2), S(t_2)) \\ \vdots \\ h(X(t_M), S(t_M)) \end{bmatrix} = \begin{bmatrix} h(F(t_1, t_f) X(t_f), S(t_1)) \\ h(F(t_2, t_f) X(t_f), S(t_2)) \\ \vdots \\ h(F(t_M, t_f) X(t_f), S(t_M)) \end{bmatrix} \quad (20)$$

بردار اندازه گيري اباشه پيشيني شده برای  $\hat{X}(t_f)$  بصورت زير تعريف می شود:

$$\bar{h}(\hat{X}(t_f)) \triangleq \begin{bmatrix} h(F(t_1, t_f) \hat{X}(t_f), S(t_1)) \\ h(F(t_2, t_f) \hat{X}(t_f), S(t_2)) \\ \vdots \\ h(F(t_M, t_f) \hat{X}(t_f), S(t_M)) \end{bmatrix} \quad (21)$$

در صورت خطی سازی تابع حول  $\hat{X}(t_f)$  خواهیم داشت:

$$\alpha_k \triangleq \alpha(t_k) = h(F(t_k, t_f) \hat{X}(t_f), S(t_k)) = H_k \hat{X}(t_f) \quad (22)$$

که  $Z$  را كوين تابع  $h$  می باشد:

$$H_k = \begin{bmatrix} \frac{\partial \alpha_k}{\partial x} & \frac{\partial \alpha_k}{\partial y} & \frac{\partial \alpha_k}{\partial \dot{x}} & \frac{\partial \alpha_k}{\partial \dot{y}} \end{bmatrix} \quad (23)$$

ماتريس  $H$  بصورت زير تعريف می شود:

$$H \triangleq \begin{bmatrix} H_1 \\ H_2 \\ \vdots \\ H_M \end{bmatrix} \quad (24)$$

ماتريس  $R$  به فرم زير تعريف می گردد:

$$R = \begin{bmatrix} R_1 & 0 & 0 & 0 \\ 0 & R_2 & 0 & 0 \\ 0 & 0 & \ddots & 0 \\ 0 & 0 & 0 & R_M \end{bmatrix} \quad (25)$$

<sup>2</sup> Fisher Information Matrix (FIM)

<sup>1</sup> Cramer-Rao Lower Bound (CRLB)

كه  $Z_{\ell,k}$  مقدار اندازه گيري شده توسط عامل همسایه  $\ell$  ام ( $\ell \in \mathcal{N}_k$ ) در لحظه  $k$  و  $R_{\ell,k}$  کواريانس نويز اندازه گيري عامل  $\ell$  ام در لحظه  $k$  می باشد. در آخرین گام نيز تخمين محاسبه شده برای بردار حالت با مقادير تخمين زده شده توسط عامل های همسایه ترکيب شده و تخمين نهايی بردار حالت به همراه کواريانس آن مطابق با روابط ذيل محاسبه می گردد:

$$\hat{X}_{k|k} = \sum_{\ell \in \mathcal{N}_k} a_{\ell,k} \hat{X}_{\ell,k|k} \quad (49)$$

$$P_{k|k} = \left( \sum_{\ell \in \mathcal{N}_k} a_{\ell,k} (P_{\ell,k|k})^{-1} \right)^{-1} \quad (50)$$

كه  $\hat{X}_{\ell,k|k}$  تخمين بردار حالت برای هدف موردنظر توسط عامل  $\ell$  ام و  $P_{\ell,k|k}$  کواريانس تخمين آن می باشد.



شکل ۵: فلوچارت فرایند فیلترینگ مبتنی بر استراتژی پخش

با توجه به پیچیدگی سیستم، احتمال ایجاد خطسیرهای اشتباه یا تکراری در فرایند ریدیابی اهداف وجود دارد. خطسیرهای اشتباه، پس از مدتی به دلیل عدم تخصیص اندازه گيري به آنها حذف خواهند شد. اما ممکن است خطسیرهای تکراری باقی بمانند. بنابراین لازم است بعد از فیلترینگ، وجود اهداف یکسان مورد بررسی قرار گیرد. در صورت وجود خطسیرهای مشابه، خطسیری که عدم قطعیت پیشتری دارد حذف می شود. برای تعیین میزان عدم قطعیت یک خطسیر، از کواريانس تخمين بردار حالت آن استفاده شده است:

$$Uncertainty = (P_{11} + P_{22}) \times (P_{33} + P_{44}) \quad (51)$$

كه  $P_{11}$  کواريانس آن  $P_{22}$  کواريانس آن  $P_{33}$  کواريانس آن  $P_{44}$  کواريانس آن می باشد.

به منظور به اشتراک گذاري اطلاعات، هر عامل با استفاده از زيرساخت شبکه، اندازه گيري های خود را به همراه اهداف ريدیابي شده به عامل های مجاور ارسال می نماید. در ساختار عامل حافظه ای برای نگهداري وضعیت آن در نظر گرفته شده است. پس از تکمیل فرایندها، وضعیت فعلی برای استفاده در اجراء های بعدی، ذخیره می شود.

به نتایج مناسب تخمين گر جداگانه شbahat، از کران پایین کرامر رايو به عنوان کواريانس نويز اندازه گيري مرکب استفاده شده است.

با توجه به خطی شدن معادله اندازه گيري به دلیل بدون مانور اندازه گيري مرکب و خطی بدون معادله حالت سیستم به دلیل بدون مانور بودن اهداف، از فیلتر کالمن مبتنی بر استراتژی پخش برای تخمين حالت سیستم زده شده است. به این منظور، خطسیرهای موجود با خطسیرهای تخمين زده شده متشابه در فرایند فیلترینگ بکار گيری می شود. معیار شbahat بصورت زیر در نظر گرفته شده است:

$$S_{ij} = (X_i - X_j)^T (P_i + P_j)^{-1} (X_i - X_j) \quad (39)$$

كه  $X_i$  تخمين بردار حالت هدف توسط عامل  $i$  ام و  $X_j$  تخمين حالت هدف توسط عامل  $j$  ام است. همچنین  $P_i$  کواريانس  $X_i$  و  $P_j$  کواريانس  $X_j$  می باشد.

ماتريسي های  $F$  و  $G$  بصورت زير تعریف می شوند:

$$F \triangleq \begin{bmatrix} 1 & 0 & \Delta t & 0 \\ 0 & 1 & 0 & \Delta t \\ 0 & 0 & 1 & 0 \\ 0 & 0 & 0 & 1 \end{bmatrix} \quad G \triangleq \begin{bmatrix} \frac{1}{2} \Delta t^2 & 0 \\ 0 & \frac{1}{2} \Delta t^2 \\ \Delta t & 0 \\ 0 & \Delta t \end{bmatrix} \quad (40)$$

كه  $\Delta t$  فاصله زمانی می باشد. معادله حالت سیستم را می توان بصورت زير نوشت:

$$X(k+1) = F X(k) + G v(k) \quad (41)$$

كه  $v(k)$  نويز فرایند می باشد. ماتريسي  $H$  بصورت زير تعریف می شود:

$$H \triangleq \begin{bmatrix} 1 & 0 & 0 & 0 \\ 0 & 1 & 0 & 0 \\ 0 & 0 & 1 & 0 \\ 0 & 0 & 0 & 1 \end{bmatrix} \quad (42)$$

در اين صورت، معادله اندازه گيري بصورت زير خواهد بود:

$$z(k) = H X(k) + w(k) \quad (43)$$

كه  $w(k)$  نويز اندازه گيري می باشد.

فلوچارت فرایند فیلترینگ مبتنی بر استراتژی پخش در شکل ۵ آورده شده است. ابتدا مقدار پيشبيش شده بردار حالت هدف و ماتريسي کواريانس آن محاسبه می گردد:

$$\hat{X}_{k|k-1} = F \hat{X}_{k-1|k-1} + G v(k) \quad (44)$$

$$P_{k|k-1} = F P_{k-1|k-1} F^T + G Q G^T \quad (45)$$

كه  $Q$  کواريانس نويز فرایند است. در گام بعدی، تخمين بردار حالت، با توجه به اندازه گيري انجام شده توسط عامل موردنظر و همچنین اندازه گيري های دریافتی از مجموعه عامل های همسایه ( $\mathcal{N}_k$ )، مطابق با روابط زير محاسبه می شود:

$$S = R_{\ell,k} + H P_{k|k-1} H^T \quad (46)$$

$$\hat{X}_{k|k} = \hat{X}_{k|k-1} + P_{k|k-1} H^T S^{-1} [z_{\ell,k} - H \hat{X}_{k|k-1}] \quad (47)$$

$$P_{k|k} = P_{k|k-1} - P_{k|k-1} H^T S^{-1} H P_{k|k-1} \quad (48)$$

که  $R_{n_{max}}$  حداکثر فاصله عامل مورد نظر از عامل همسایه است و برای هر همسایه بصورت زیر تعیین می شود:

$$R_{n_{max}} = 0.95 \times \min\{CR_a, CR_{n_i}\} \quad (59)$$

همچنین:

$$\forall j, R_{t_j} \geq R_{t_{min}} \quad (60)$$

که  $R_{t_{min}}$  حداقل فاصله عامل مورد نظر تا اهداف است که بصورت زیر تعیین می گردد:

$$R_{t_{min}} = 0.05 \times MR_a \quad (61)$$

که  $MR_a$  برد اندازه گیری عامل مورد نظر است. همچنین:

$$\forall j, R_{t_j} \leq R_{t_{max}} \quad (62)$$

که  $R_{t_{max}}$  حداکثر فاصله عامل مورد نظر تا اهداف است که بصورت زیر تعیین می گردد:

$$R_{t_{max}} = 0.95 \times MR_a \quad (63)$$

همچنین کمترین و بیشترین مقدار زاویه کورس عامل، با توجه به حداکثر نرخ چرخش عامل و فاصله زمانی تا اجرای بعدی برنامه عامل، محاسبه شده و به الگوریتم های بهینه سازی اعمال می گردد.

پس از اجرای الگوریتم های بهینه سازی، نتایج حاصله ترکیب شده و زاویه کورس نهایی عامل بدست می آید:

$$C = \frac{K_{R_n}}{K_{R_n} + K_{R_t} + K_{D_t}} C_{R_n} + \frac{K_{R_t}}{K_{R_n} + K_{R_t} + K_{D_t}} C_{R_t} + \frac{K_{D_t}}{K_{R_n} + K_{R_t} + K_{D_t}} C_{D_t} \quad (64)$$

که  $C_{R_n}$  و  $C_{R_t}$  به ترتیب کورس محاسبه شده بر مبنای حداکثرسازی فاصله تا عامل های همسایه، کورس محاسبه شده بر مبنای حداقل سازی فاصله تا اهداف و کورس محاسبه شده بر مبنای حداکثرسازی تعامل بر خط دید می باشد و  $K_{R_n}$  و  $K_{R_t}$  نیز ضرایب مربوطه با همان ترتیب می باشند. با مشخص شدن کورس عامل، هنگام بروز رسانی پارامترهای حرکتی، موقعیت و سرعت عامل متناسب با این مقدار محاسبه خواهد گردید.

### ۴-۳ نحوه شبیه سازی سیستم

برای شبیه سازی سیستم از نرم افزار متلب و تکنیک برنامه نویسی شی گرا<sup>۱</sup> استفاده شده است. به این منظور یک کلاس<sup>۲</sup> برای مدل سازی اهداف، یک کلاس برای مدل سازی عامل ها و یک کلاس دیگر برای مدل کردن محیط، طراحی و پیاده سازی شده است. برای شبیه سازی سیستم کافی است از هر کلاس به تعداد موردنیاز شی<sup>۳</sup> ایجاد نموده و از هر شی<sup>۴</sup> توابع لازم را اجرا نمود. به منظور ایجاد ناهمزانی در سیستم، اجرای برنامه عامل ها با تأخیرهای تصادفی انجام می شود. فلوچارت کلی شبیه سازی در شکل ۶ آمده است.

جهت گیری عامل به سمت موقعیت مطلوب به نحوی تعیین می گردد که ضمن حفظ اتصال شبکه، دقت و سرعت همگرایی الگوریتم ریدیابی، بهبود یافته و تا حد امکان، اهداف ریدیابی شده از حوزه اندازه گیری سنسور خارج نشوند. به این منظور، سه الگوریتم بهینه سازی بطور مستقل اجرا شده و نتایج بدست آمده با هم ترکیب می شوند. اندازه سرعت عامل هنگام مانور، ثابت فرض می شود. متغیر کنترلی مورد استفاده برای بهینه سازی مانور، زاویه کورس عامل می باشد.

الگوریتم بهینه سازی اول، کورس عامل را طوری محاسبه می کند که عامل مورد نظر حداکثر فاصله را از عامل های همسایه داشته باشد. این موضوع موجب افزایش رویت پذیری حالت اهداف و بهبود دقت تخمین ها می شود. تابع هزینه در این الگوریتم، بصورت زیر تعیین شده است:

$$cost = - \sum_i R_{n_i} \quad (52)$$

که  $R_{n_i}$  فاصله عامل همسایه  $i$  از عامل مورد نظر می باشد. در الگوریتم بهینه سازی دوم، کورس عامل طوری محاسبه می شود که فاصله عامل از اهداف حداقل شود. این موضوع ضمن افزایش رویت پذیری حالت اهداف و دقت ریدیابی، احتمال خارج شدن اهداف از برد اندازه گیری سنسور را کاهش می دهد. تابع هزینه این الگوریتم، بصورت زیر است:

$$cost = \sum_j R_{t_j} \quad (53)$$

که  $R_{t_j}$  فاصله هدف  $j$  از عامل مورد نظر می باشد. الگوریتم بهینه سازی سوم، تلاش می کند جهت حرکت عامل، عمود بر خط دید اهداف باشد که موجب افزایش رویت پذیری و بهبود دقت تخمین ها می گردد. تابع هزینه مربوطه، بصورت زیر است:

$$cost = \sum_j K_1 \left( 1 - e^{-K_2(\lambda_j - \frac{\pi}{2})^2} \right) \quad (54)$$

که  $K_1$  و  $K_2$  ضرایب ثابت بوده و  $\lambda_j$  سمت حرکت عامل نسبت به هدف  $j$  از می باشد که برابر است با:

$$\lambda_j = |B_j - C| \quad (55)$$

که  $B_j$  سمت هدف یا همان زاویه خط دید هدف می باشد و  $C$  کورس عامل مورد نظر است.

در هر سه الگوریتم بهینه سازی، قیدهای زیر نیز در نظر گرفته شده است:

$$\forall i, R_{n_i} \geq R_{n_{min}} \quad (56)$$

که  $R_{n_{min}}$  حداقل فاصله عامل مورد نظر از عامل همسایه است که برای هر همسایه بصورت زیر تعیین می شود:

$$R_{n_{min}} = 0.05 \times \min\{CR_a, CR_{n_i}\} \quad (57)$$

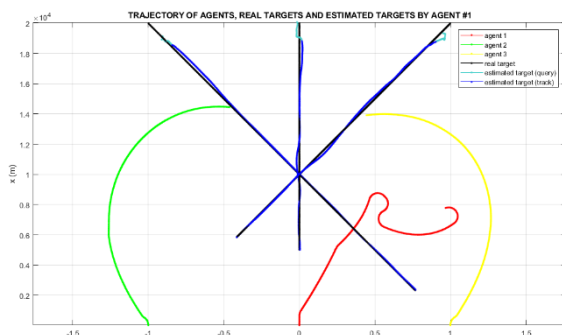
که  $CR_a$  برد ارتباطی عامل مورد نظر و  $CR_{n_i}$  برد ارتباطی عامل همسایه  $i$  است.

$$\forall i, R_{n_i} \leq R_{n_{max}} \quad (58)$$

<sup>1</sup> Object

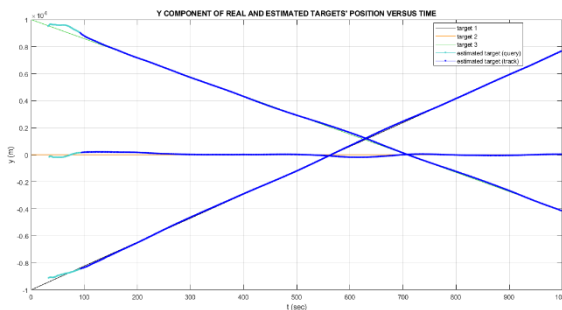
<sup>1</sup> Object-Oriented Programming  
<sup>2</sup> Class

با دقت قابل قبولی تخمین زده است و با اينکه اهداف به يكديگر نزدیک شده اند باز هم تفکيک بين آنها به خوبی انجام شده است.

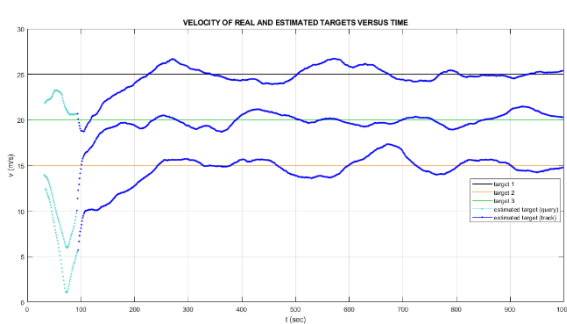


شکل ۷: مسیر حرکت عامل‌ها، اهداف واقعی و اهداف تخمین زده شده توسط عامل ۱

با توجه به تعداد عامل‌ها و اهداف، تعداد متغیرهای حالت بسیار زیاد می‌باشد؛ لذا به عنوان نمونه، مقدار واقعی متغیر لازم برای هر سه هدف و همچنین مقدار تخمین زده شده آنها توسط عامل ۱ بر حسب زمان، در شکل ۸ نشان داده شده است. می‌توان حالت اهداف در دستگاه مختصات قطبی را نیز مورد بررسی قرار داد. به عنوان مثال، اندازه سرعت اهداف واقعی و اهداف تخمین زده شده توسط عامل ۱ در شکل ۹ آورده شده است.

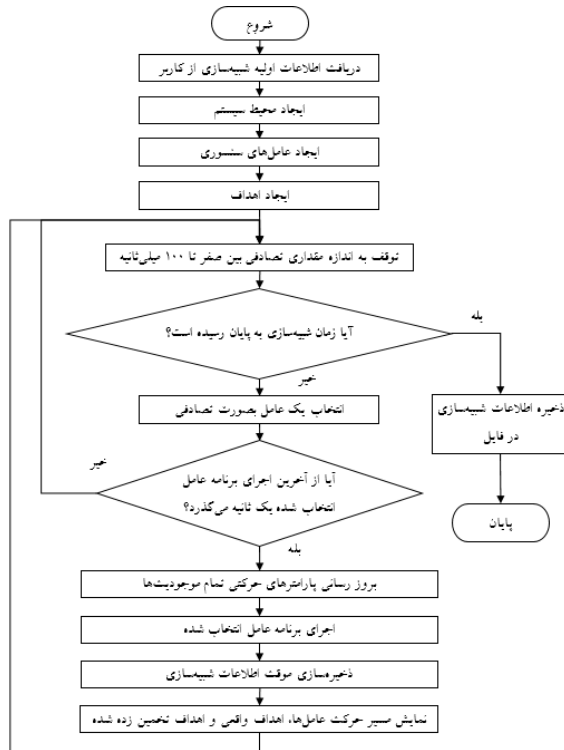


شکل ۸: مقدار واقعی و تخمین زده شده متغیر لازم برای سه هدف توسط عامل ۱



شکل ۹: اندازه سرعت اهداف واقعی و اهداف تخمین زده شده توسط عامل ۱

به منظور تحلیل دقیق تر کارایی سیستم، بهتر است خطای تخمین متغیرهای حالت اهداف بررسی شود. با توجه به تعداد زیاد متغیرهای حالت



شکل ۶: فلوچارت کلی شبیه‌سازی سیستم

#### ۴- نتایج شبیه‌سازی

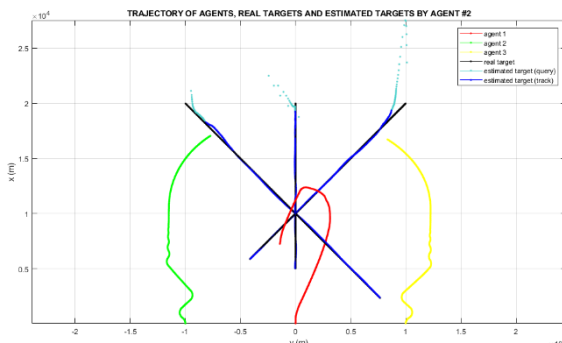
برای ارزیابی نحوه عملکرد سیستم، می‌توان از سناریوهای خاص با اهداف مشخص استفاده نمود. سناریوهای تصادفی نیز می‌توانند حالت‌های پیش‌بینی نشده‌ای را ایجاد نموده و موجب شناسایی نقاط ضعف احتمالی سیستم گردد. برای شبیه‌سازی حالت‌های خاص، یک سناریوی مبنا شامل سه عامل و سه هدف بصورت جدول ۱ تعریف می‌شود. انحراف معیار خطای اندازه گیری تمام سنسورها، ۲ درجه است. برای اینکه عامل‌ها محدودیتی از نظر برد اندازه گیری و برد ارتباطی نداشته باشند، برای این پارامترها مقادیر بسیار بزرگی در نظر گرفته شده است. زمان شبیه‌سازی ۱۰۰۰ ثانیه می‌باشد.

جدول ۱: سناریوی مبنا

پارامتر	موجودیت						
	واسد	نام پارامتر	اندازه گیری	منز	منز	منز	منز
هدف ۳	۲۰۰۰	۲۰۰۰	۲۰۰۰	۰	۰	۰	۰
هدف ۲	۱۰۰۰	۰	-۱۰۰۰	۱۰۰۰	-۱۰۰۰	۰	۰
هدف ۱	۲۰	۱۵	۲۵	۲۰	۲۰	۲۰	۲۰
عامل ۳	۲۰	۲۰	۲۰	۲۰	۲۰	۲۰	۲۰
عامل ۲	۲۰	۲۰	۲۰	۲۰	۲۰	۲۰	۲۰
عامل ۱	۲۰	۲۰	۲۰	۲۰	۲۰	۲۰	۲۰

مسیر حرکت عامل‌ها، اهداف واقعی و اهداف تخمین زده شده توسط عامل ۱ در شکل ۷ نشان داده شده است. مشاهده می‌شود که عامل موردنظر، هم تعداد اهداف را به درستی تشخیص داده و هم حالت آنها را

۱۱ نشان داده شده است. مشاهده می شود که عامل ها، به دلیل محدودیت برد ارتباطی و برای حفظ اتصال شبکه نمی توانند زیاد از هم دور شوند و این موضوع اثر منفی بر رویت پذیری متغیرهای حالت و دقت تخمین ها نسبت به سناریوی مبنا دارد. با وجود محدودیت های فوق، خط سیرهای تخمین زده شده انتبا طاق خوبی با مسیر حرکت اهداف واقعی دارند.



شکل ۱۱: مسیر حرکت عامل ها، اهداف واقعی و اهداف تخمین زده شده توسط عامل ۲

به عنوان نمونه، خطای تخمین متغیرهای حالت هدف ۳ توسط عامل دوم در کل مدت زمان ریدیابی، در جدول ۳ آورده شده است. با اینکه هدف بطور مستقیم در برد اندازه گیری این سنسور نبوده است، خطای ریدیابی در حد مناسب و قابل قبول می باشد.

جدول ۳: خطای تخمین متغیرهای حالت هدف ۳ توسط عامل ۲

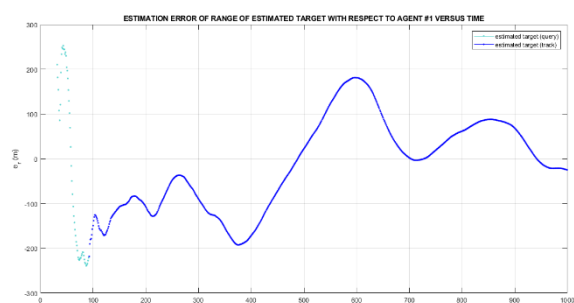
نحوه معیار خطای تخمین	میانگین خطای تخمین	واحد اندازه گیری	نام متغیر حالت
۸۵/۳	-۳۰/۶	متر	موقعیت هدف در راستای محور $X$
۳۵/۱	-۱۶/۵	متر	موقعیت هدف در راستای محور $Z$
۱/۵	-۱/۱	متر بر ثانیه	سرعت هدف در راستای محور $X$
۰/۴	-۱/۱	متر بر ثانیه	سرعت هدف در راستای محور $Z$
۶۰/۹	-۲۲/۳	متر	فاصله هدف
۰/۱۹	۰/۰۳	درجه	زاویه سمت هدف
۱/۰	۰/۱	متر بر ثانیه	اندازه سرعت هدف
۳/۸	-۰/۲	درجه	زاویه کورس هدف

یک سناریوی دیگر شامل سه سنسور و چهار هدف، با پارامترهایی که بصورت تصادفی انتخاب شده و در جدول ۴ آورده شده است، شبیه سازی شده و نتایج مورد بررسی قرار می گیرد.

جدول ۴: سناریو با پارامترهایی که بصورت تصادفی انتخاب شده اند

برادر	نام پارامتر	واحد	اندازه گیری	نام متغیر	واحد	اندازه گیری	موقعیت
۴	مدف ۴	مدف	۲	مدف ۱	مدف	۱	مدف ۳
۱۵۰۰۰	-۱۰۰۰۰	۱۳۰۰۰	۱۰۰۰۰	۳۰۰۰	۱۰۰۰۰	-۵۰۰۰	۰
-۵۰۰۰	-۸۰۰۰	۸۰۰۰	-۲۰۰۰۰	۲۰۰	-۷۰۰۰	-۱۲۰۰۰	۰
۲۲	۱۴	۱۸	۲۹	۲۱	۲۸	۱۷	۰
۱۷۳	۹۰	۲۲۶	۱۶۰	۴۲	۱۵۴	۲۹	۰
-	-	-	-	۱/۵	۲/۵	۳	۰
-	-	-	-	۲۵	۳۵	۳۵	کیلومتر
-	-	-	-	۳۵	۲۵	۳۰	کیلومتر
-	-	-	-	برد ارتباطی	برد اندازه گیری	برد اندازه گیری	متر

اهداف، به عنوان نمونه، خطای تخمین فاصله هدف ۳ توسط عامل ۱ در شکل ۱۰ نشان داده شده است. مشاهده می گردد که با گذشت زمان به تدریج اندازه خطای کاهش پیدا کرده است. حدود ۶۰۰ ثانیه پس از شروع شبیه سازی، به دلیل نزدیکی زیاد هدف ۳ با هدف ۲، خطای تخمین اندکی افزایش یافته اما با گذشت زمان و دور شدن اهداف از یکدیگر، مجدداً خطای کم شده است.



شکل ۱۰: خطای تخمین فاصله هدف ۳ توسط عامل ۱

خطای ریدیابی تمامی متغیرهای حالت هدف ۳ توسط عامل ۱ در کل مدت زمان ریدیابی، در جدول ۲ خلاصه شده است. مشاهده می شود که خطای ریدیابی هدف، در حد مناسب و قابل قبول می باشد. بررسی خطای تخمین متغیرهای حالت اهداف توسط عامل های ۲ و ۳ نشان می دهد که خط سیرهای تخمین زده شده توسط آنها نیز مشابه با عامل ۱ می باشد و به منظور عدم بیان مطالب تکراری، از ارائه آنها صرف نظر می شود.

جدول ۲: خطای تخمین متغیرهای حالت هدف ۳ توسط عامل ۱

نام متغیر حالت	واحد اندازه گیری	میانگین خطای تخمین	نحوه معیار خطای تخمین
موقعیت هدف در راستای محور $X$	متر	-۳۷/۵	۸۰/۵
موقعیت هدف در راستای محور $Z$	متر	-۳۱/۸	۵۰/۵
سرعت هدف در راستای محور $X$	متر بر ثانیه	-۰/۳	۱/۲
سرعت هدف در راستای محور $Z$	متر بر ثانیه	-۰/۱	۰/۹
فاصله هدف	متر	-۱۲/۶	۱/۱
زاویه سمت هدف	درجه	۰/۰۲	۰/۲۶
اندازه سرعت هدف	متر بر ثانیه	۰/۰۲	۱/۱
زاویه کورس هدف	درجه	-۰/۵	۲/۷

به منظور بررسی محدودیت های برد اندازه گیری و برد ارتباطی بر عملکرد سیستم، سناریوی مبنا مدنظر قرار گرفته ولی برد اندازه گیری و برد ارتباطی تمام عامل ها، ۲۵ کیلومتر تعیین می گردد. به این ترتیب، در شروع شبیه سازی، هر سه عامل می توانند با هم تبادل داده داشته باشند. همچنین عامل ۱ می تواند هر سه هدف را تشخیص داده و سمت آنها را اندازه گیری نماید. اما عامل دوم فقط قادر به تشخیص و اندازه گیری سمت اهداف ۱ و ۲ بوده و هدف ۳ در برد اندازه گیری آن نمی باشد. عامل ۳ نیز فقط قادر به آشکار سازی و اندازه گیری سمت اهداف ۲ و ۳ خواهد بود. مسیر حرکت عامل ها، اهداف واقعی و اهداف تخمین زده شده توسط عامل ۲ در شکل

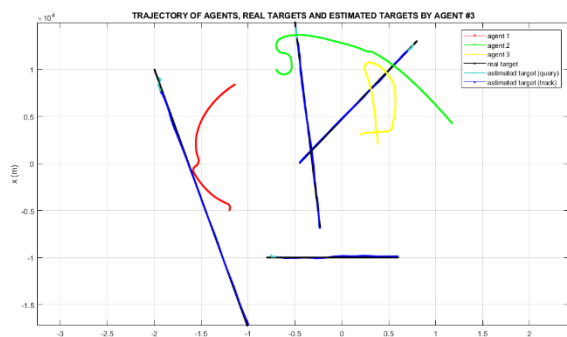
دارند، با خطای قابل قبولی رديابي می شوند. همچنین در برخی از سناريوها بعضی از اهداف بطور مستقیم در بردازه گيري يكی از عاملها نبوده اما در لیست اهداف تخمين زده شده توسط اين عامل قرار داشته؛ علت اين موضوع استفاده از اطلاعات درياfci از عاملها همسایه در فرایند تخمين حالت و رديابي اهداف می باشد.

در اين تحقیق، به منظور پرهیز از افزایش حجم محاسبات محلی، از الگوريتم های ساده با بار پردازشی پایین، استفاده گردیده است. با توجه به امكان استفاده از پردازشگرهای قوی تر، می توان از الگوريتم های پیشرفته تر نیز استفاده نمود. برای وابسته سازی داده از الگوريتم نزدیک ترین همسایه استفاده شده است که ضعف اصلی آن هنگام مواجهه با اهداف نزدیک به هم می باشد. با استفاده از روش هایی مانند الگوريتم وابسته سازی داده احتمالاتی، احتمال اشتباه در تخصیص اندازه گیری ها به اهداف، کاهش یافته و کارایی سیستم بهبود می یابد. همچنین برای بهبود عملکرد فیلتر کالمن مبتنی بر استراتژی پخش، می توان محاسبه تخمين نهاي را بصورت تطبیقی انجام داد. اگر چه توزیع سنسورها در محیط، از ضرورت انجام مانور توسط عاملها می کاهد اما چگونگی مانور عاملها تاثیر فراوانی بر دقت تخمينها دارد. طراحی مسیر بهینه عاملها نیز می تواند به عنوان يك موضوع تحقیقاتی مورد توجه قرار گیرد. در این تحقیق، اهداف بدون مانور فرض شده اند. می توان رديابي اهداف مانوردار را نیز مدنظر قرار داد که در این صورت با يك مسئله فیلترینگ غیرخطی رو برو خواهیم بود.

## مراجع

- [1] Stansfield R. G., 1947, "Statistical theory of DF fixing," J. Inst. Electr. Eng. IIIA Radiocommun., vol. 94, no. 15, pp. 762–770.
- [2] Taghavi E., Tharmarasa R., Kirubarajan T. and McDonald M., 2016, "Multisensor-multitarget bearing-only sensor registration," IEEE Trans. Aerosp. Electron. Syst., vol. 52, no. 4, pp. 1654–1666.
- [3] Mohammadi A. and Asif A., 2015, "Distributed consensus + Innovation particle filtering for bearing/range tracking with communication constraints," IEEE Trans. Signal Process., vol. 63, no. 3, pp. 620–635.
- [4] Ferdowsi M. H., Maralani P. J. and Sedigh A. K., 2004, "Design of bearing-only vision-based tracking filters," Opt. Eng., vol. 43, no. 2, pp. 472–481.
- [5] Sadhu S., Mondal S., Srinivasan M. and Ghoshal T. K., 2006, "Sigma point Kalman filter for bearing only tracking," Signal Processing, vol. 86, no. 12, pp. 3769–3777.
- [6] Ristic Branko, Arulampalam Sanjeev and Gordon Neil, Beyond the Kalman filter: Particle filters for tracking applications. Artech house, 2003.
- [7] Sabet M. T., Fathi A. R. and Mohammadi Daniali H. R., 2016, "Optimal design of the Own Ship

مسیر حرکت عاملها، اهداف واقعی و اهداف تخمين زده توسط عامل ۳، به عنوان نمونه در شکل ۱۲ آورده شده است.



شکل ۱۲: مسیر حرکت عاملها، اهداف واقعی و اهداف تخمين زده شده توسط عامل ۳

همچنین خطای تخمين هدف ۴ توسط عامل ۳ نیز به عنوان نمونه در جدول ۵ آمده است. مشاهده می شود که خطای رديابي در حد مناسب و قابل قبول می باشد.

جدول ۵: خطای تخمين متغیرهای حالت هدف ۴ توسط عامل ۳

نام متغیر حالت	واحد اندازه گیری	بيانگن خطای تخمين	تجزیف میان خطای تخمين
موقعیت هدف در راستای محور X	متر	-۵۶/۲	۵۳/۷
موقعیت هدف در راستای محور Y	متر	-۱۳/۲	۵۱/۶
سرعت هدف در راستای محور X	متر بر ثانية	-۰/۱	۰/۸
سرعت هدف در راستای محور Y	متر بر ثانية	-۰/۰۱	۰/۶
فاصله هدف	متر	۳۰/۹	۷۶/۶
زاویه سمت هدف	درجہ	-۰/۱۴	۰/۲۲
اندازه سرعت هدف	متر بر ثانية	۰/۰۵	۰/۷
زاویه کورس هدف	درجہ	۰/۰۸	۱/۷

## ۵- نتیجه گیری و پیشنهاد

در این تحقیق، سیستم رديابي چنددهندي چندسنسوری غيرمت مرکز و همكارانه با اندازه گيري غيرهمzman سمت، در قالب يك سیستم چندعامله، طراحی و پیاده سازی شده است. در این سیستم، عاملها سنسوری هوشمند نقش محوری و تعیین کننده ای دارند. هدف اصلی، طراحی و پیاده سازی برنامه این عاملها بوده است. به دلیل فرض بدون مانور بودن اهداف، مدل سیستم موردنظر برای تخمين حالت، خطی می باشد. استفاده از ایده اندازه گیری مرکب نیز موجب خطی شدن مدل اندازه گیری شده است. لذا از فیلتر کالمن توزیع شده مبتنی بر استراتژی پخش به منظور رديابي اهداف استفاده گردیده است. همچنین عاملها تلاش می کنند ضمن حفاظ اتصال شبکه و تعقیب اهداف، به نحوی مانور نمایند که سرعت و دقت رديابي افزایش یابد.

شیوه سازی های متعدد نشان می دهند که سیستم موردنظر با وجود محدودیت های در نظر گرفته شده، عملکرد و کارایی قابل قبولی داشته و می تواند تعداد و حالت اهداف مختلف موجود در منطقه تحت نظر از را با کیفیت و دقت مناسب تخمين بنزند. اهدافی که در بردازه گیری حداقل دو سنسور قرار داشته و این سنسورها به نحو مناسبی از یکدیگر فاصله

- measurements from passive sensors,” IEEE Trans. Aerosp. Electron. Syst., vol. 49, no. 4, pp. 2799–2806.
- [21] Osborne R. W., 2015, “Fusion of Asynchronous Passive Measurements,” J. Adv. Inf. FUSION, vol. 10, no. 2, pp. 199–210.
- maneuver in the bearing-only target motion analysis problem using a heuristically supervised Extended Kalman Filter,” Ocean Eng., vol. 123, pp. 146–153.
- [8] Nardone S. and Lindgren A., 1984, “Fundamental properties and performance of conventional bearings-only target motion analysis,” IEEE Trans. Automat. Contr., vol. 29, no. 9, pp. 775–787.
- [9] Oshman Y. and Davidson P., 1999, “Optimization of observer trajectories for bearings-only target localization,” IEEE Trans. Aerosp. Electron. Syst., vol. 35, no. 3, pp. 892–902.
- [10] Chen X., Tharmarasa R. and Kirubarajan T., 2014, “Multitarget Multisensor Tracking,” in Academic Press Library in Signal Processing: Volume 2 Communications and Radar Signal Processing, vol. 2, Elsevier Masson SAS, pp. 759–812.
- [11] Musicki D., 2008, “Multi-target tracking using multiple passive bearings-only asynchronous sensors,” IEEE Trans. Aerosp. Electron. Syst., vol. 44, no. 3, pp. 1151–1160.
- [12] Sathyan T. and Sinha A., 2011, “A two-stage assignment-based algorithm for asynchronous multisensor bearings-only tracking,” IEEE Trans. Aerosp. Electron. Syst., vol. 47, no. 3, pp. 2153–2168.
- [13] Sayed A. H., 2014, “Adaptive networks,” Proc. IEEE, vol. 102, no. 4, pp. 460–497.
- [14] Dias S. S. and Bruno M. G. S., 2013, “Cooperative Target Tracking Using Decentralized Particle Filtering and RSS Sensors,” IEEE Trans. Signal Process., vol. 61, no. 14, pp. 3632–3646.
- [15] Olfati-Saber R., Fax J. A. and Murray R. M., 2007, “Consensus and cooperation in networked multi-agent systems,” Proc. IEEE, vol. 95, no. 1, pp. 215–233.
- [16] Zhou Y., Wang D. and Li J., 2014, “Consensus 3-D bearings-only tracking in switching sensor networks,” Signal Processing, vol. 105, pp. 148–155.
- [17] Mohammad A. and Asif A., 2016, “Diffusive particle filtering for distributed multisensor estimation,” ICASSP, IEEE Int. Conf. Acoust. Speech Signal Process. - Proc., vol. 2016–May, no. 504310, pp. 3801–3805.
- [18] Tu S. Y. and Sayed A. H., 2012, “Diffusion strategies outperform consensus strategies for distributed estimation over adaptive networks,” IEEE Trans. Signal Process., vol. 60, no. 12, pp. 6217–6234.
- [19] Klein I. and Bar-Shalom Y., 2016, “Tracking with asynchronous passive multisensor systems,” IEEE Trans. Aerosp. Electron. Syst., vol. 52, no. 4, pp. 1769–1776.
- [20] Osborne R. W. and Bar-Shalom Y., 2013, “Statistical efficiency of composite position